

УДК 621.316.717.027.2-213.34

## МАТЕМАТИЧЕСКАЯ МОДЕЛЬ НАГРЕВА РУДНИЧНОГО ВЗРЫВОЗАЩИЩЕННОГО АППАРАТА

Карась С.В., докт. техн. наук, проф., Кардаш В.В, аспирант,  
Донецкий государственный технический университет

*Рассмотрен синтез и верификация математической модели нагрева рудничного взрывозащищенного аппарата с учетом величины нагрузки, продолжительности включения, частоты включений-отключений нагрузки. В основу верификации полученной математической модели положен многофакторный эксперимент при широком диапазоне варьирования определяющих воздействующих факторов.*

*In the article synthesis and verification of a mathematical model of heat of the miner explosion-proof device subject to values of a load, duration of inclusion, frequency of switching on-off of a load are considered. In a basis of verification of an obtained mathematical model there is the many-factorial experiment with wide range of a variation of the defining effecting factors.*

Одним из необходимых условий повышения эффективности экономики топливно-энергетического комплекса, связанного с добывчей полезных ископаемых в сложных горно-технологических условиях, взрывоопасных по газу и угольной пыли, является создание современных и надежных электрических аппаратов управления и защиты.

Рудничные взрывобезопасные аппараты (РВА) по условиям эксплуатации в угольных шахтах, в силу своих конструктивных особенностей создают внутри оболочки микроклимат: изменение влажности, температуры и концентрации продуктов дегогашения в закрытом, ограниченном объеме [1].

Для определения теплового состояния РВА исследуем степень влияния различных факторов, характерных для эксплуатации электроприводов горных машин различного назначения, в том числе подключенной нагрузки. Наиболее существенными факторами, влияющими на нагрев РВА, являются: величина тока нагрузки ( $I$ , А), продолжительность включения ( $ПВ$ , %) и частота циклов включения-отключения ( $N$ , ВО/час) [2]. В качестве обобщающего параметра нагрева РВА принята температура воздуха внутри его оболочки.

Для определения степени влияния отмеченных факторов был проведен многофакторный статистически спланированный эксперимент. В связи с поставленной в исследованиях задачей аппроксимации функции была выбрана широкая зона изменения факторов, исходя из данных эксплуатации, нормативно-технической документации и технической литературы. Основные уровни и интервалы варьирования факторов приведены в табл.1.

Таблица 1 - Основные уровни и интервалы варьирования факторов

Воздействующий фактор	Условное обозначение	Верхний уровень фактора (+)	Нижний уровень фактора (-)	Интервал варьирования
Ток подключенной нагрузки $I$ , А	$X_1$	250	120	130
Частота включений-отключений $N$ , ВО/час	$X_2$	600	300	300
Продолжительность включений ПВ, %	$X_3$	95	5	90

Для эксперимента принят план полного многофакторного эксперимента ПФЭ типа  $2^K$ . План многофакторного эксперимента и результаты приведены в табл.2.

Таблица 2 - План многофакторного эксперимента  $2^3$ 

№ опыта	Факторы, взаимодействие факторов								Отклик			
	$X_0$	$X_1$	$X_2$	$X_3$	$X_{12}$	$X_{13}$	$X_{23}$	$X_{123}$	$Y_1$	$Y_2$	$Y$	$\bar{Y}$
1	+	+	+	+	+	+	+	+	75	66	70,5	71,56
2	+	-	+	+	-	-	+	-	31	33	32,0	34,06
3	+	+	-	+	-	+	-	-	55	68	61,5	60,04
4	+	-	-	+	+	-	-	+	24	26	25,0	22,94
5	+	+	+	-	+	-	-	-	40	42	41,0	37,30
6	+	-	+	-	-	+	-	+	21	20	20,5	20,92
7	+	+	-	-	-	-	+	+	19	26	22,5	26,20
8	+	-	-	-	+	+	+	-	12	9	10,5	9,94

Для исключения методических ошибок, вызванных внешними условиями, проведена рандомизация двух параллельных экспериментов при помощи таблицы случайных чисел. При исследовании обеспечивался контроль и поддержание всех факторов на заданном уровне с погрешностью  $\pm 5\%$ ; продолжительность одного эксперимента составляла 8 часов.

Обработка результатов эксперимента проводилась с использованием метода наименьших квадратов. Общий вид функции [3]:

$$Y = b_0 + b_1 X_1 + b_2 X_2 + b_3 X_3 + b_{12} X_1 X_2 + b_{13} X_1 X_3 + b_{23} X_2 X_3. \quad (1)$$

Коэффициенты регрессии определялись по следующим зависимостям:

$$b_0 = \frac{\sum_{i=1}^N Y_i}{N}; \quad b_j = \frac{\sum_{i=1}^N Y_i X_{ij}}{N}; \quad b_{uj} = \frac{\sum_{i=1}^N Y_i X_{ij} X_{uj}}{N}. \quad (2)$$

Воспроизводимость экспериментов определялась по критерию Кохрена:

$$G = \frac{S_{\max}^2}{\sum_{i=1}^N S_{ui}^2}, \quad (3)$$

где  $S_{\max}$  – максимальная дисперсия в эксперименте;

$S_u$  – сумма дисперсии;

$$S_u^2 = \frac{1}{m-1} \sum_{j=1}^N (Y_{uj} - \bar{Y}_u)^2; \quad (4)$$

$m$  – число дублируемых экспериментов.

Для откликов согласно табл.2 получены следующее значение критерия Кохрена:

$$S_u^2 = 141,75; G = 0,5961.$$

Табличное значение критерия Кохрена  $G_{табл}$  для числа экспериментов  $N = 8$ ,  $m = 2$  и  $\alpha = 0,95$  составляет 0,6798. Поскольку расчетное значение критерия Кохрена не превышает табличное, то нет оснований отвергать воспроизводимость опытов.

Определим значения коэффициентов регрессии:

$$b_0 = 35,4; b_1 = 13,4; b_2 = 5,56; b_3 = 11,8;$$

$$b_{12} = 1,31; b_{13} = 5,31; b_{23} = 1,56.$$

Значимость полученных коэффициентов определялась по расчетному критерию Стьюдента [3]:

$$t_i = \frac{|b_i|}{S^2 \{b_i\}}; \quad t_{ij} = \frac{|b_{ij}|}{S^2 \{b_{ij}\}}, \quad (5)$$

где

$$S^2 \{b_i\} = S^2 \{b_{ij}\} = \frac{S^2 \{Y\}}{\sum_{u=1}^N n_u}. \quad (6)$$

Дисперсия воспроизводимости определялась по формуле:

$$S^2 \{Y\} = \frac{S_e}{f_e} = \frac{\sum_{u=1}^N \sum_{j=1}^m (Y_{ui} - \bar{Y}_u)^2}{N \cdot (m-1)} = \frac{S_u^2}{N \cdot (m-1)};$$

$$S^2 \{Y\} = \frac{141,75}{8} = 17,72;$$

$$\sqrt{S^2 \{b_i\}} = \sqrt{\frac{17,72}{16}} = 1,052.$$

Значимость коэффициентов определялась из выражения:

$$t_0 = \frac{|b_0|}{\sqrt{S^2 \{b_i\}}} = \frac{35,4}{1,052} = 33,65;$$

$$t_1 = 12,70; \quad t_2 = 5,28; \quad t_3 = 11,20;$$

$$t_{12} = 1,20; \quad t_{13} = 5,05; \quad t_{23} = 1,48.$$

Табличное значение критерия Стьюдента для числа степеней свободы

$$f_e = N \cdot (m-1) = 8 \cdot (2-1) = 8$$

при доверительной вероятности  $\alpha = 0,95$  согласно [3] получено равным  $t_{\text{табл}} = 2,31$ .

Исключив незначимые коэффициенты  $b_{12}$  и  $b_{23}$ , можно получить следующее уравнение:

$$Y = 35,4 + 13,4 \cdot X_1 + 5,56 \cdot X_2 + 11,8 \cdot X_3 + 5,31 \cdot X_1 \cdot X_3. \quad (8)$$

Для проверки адекватности математической модели определялась дисперсия адекватности:

$$S_{ad} = \frac{S_{LE}}{f_{LE}} = \frac{m \cdot \sum_{u=1}^N \left( \bar{Y}_u - \hat{Y}_u \right)^2}{N - \lambda}, \quad (9)$$

где  $\lambda$  – число членов регрессионного уравнения;

$\bar{Y}$  – значение отклика, рассчитанное по модели.

$$S_{ad} = 26,49.$$

Расчетный критерий Фишера определялся по формуле:

$$F_{ad} = \frac{S_{ad}^2}{S^2\{Y\}} = \frac{26,49}{17,72} = 1,49. \quad (10)$$

По таблице критериев Фишера для  $f_1 = 3$  и  $f_2 = 8$  получено значение  $F_{табл} = 4,03$ . Поскольку расчетное значение критерия  $F_{ad}$  не превышает табличного  $F_{табл}$ , то математическая модель адекватна экспериментальным данным.

Преобразуем полученную модель в натуральные факторы по формуле:

$$Y = b_0 + \sum_{i=1}^{\lambda} b_i \frac{X_i - X_{icp}}{\Delta X_i}, \quad (11)$$

где  $X_{icp}$  – средний уровень фактора;

$\Delta X_i$  – половина интервала варьирования.

$$Y = -15,8 + 0,116 \cdot X_1 + 0,037 \cdot X_2 - 0,071 \cdot X_3 + 0,0018 \cdot X_1 \cdot X_3. \quad (12)$$

Полученное регрессионное уравнение позволяет моделировать нагрев воздуха в оболочке РВА от теплового выделения элементов при изменении параметров нагрузки. На рис.1 приведены графики зависимости температуры перегрева воздуха внутри оболочки от каждого из воздействующих факторов при фиксированных значениях двух других.

Наибольшее влияние на величину температуры воздуха внутри оболочки оказывает величина подключенной нагрузки  $I$  и продолжительность включения  $PV$ . В меньшей степени оказывает влияние частота операций ВО.

Полученная модель была экспериментально проверена при испытании пускателей в категории применения АС-4 для пускателя ПВИР-250. Испытания проводились при среднеквадратичном токе нагрузки  $I = 620A$  и частоте циклов  $N = 600 BO_{\text{час}}$  с  $PV = 3,3\%$ .

При этом время работы  $t_{p1} = 20\text{мин}$  и  $t_{p2} = 40\text{мин}$  чередовалось с паузами, равными соответственно  $t_{n1} = 40\text{мин}$  и  $t_{n2} = 20\text{мин}$ . При испытании контролировалась температура в верхней части оболочки (в месте установки блоков управления и защиты), где температура нагрева воздуха наиболее высокая. Температура контрольных точек составила 34, 38, 39, 41, 33 °C при продолжительности времени работы  $t_{p1} = 20\text{мин}$  и 52, 61, 69, 61, 55 °C при продолжительности времени работы  $t_{p2} = 40\text{мин}$ .

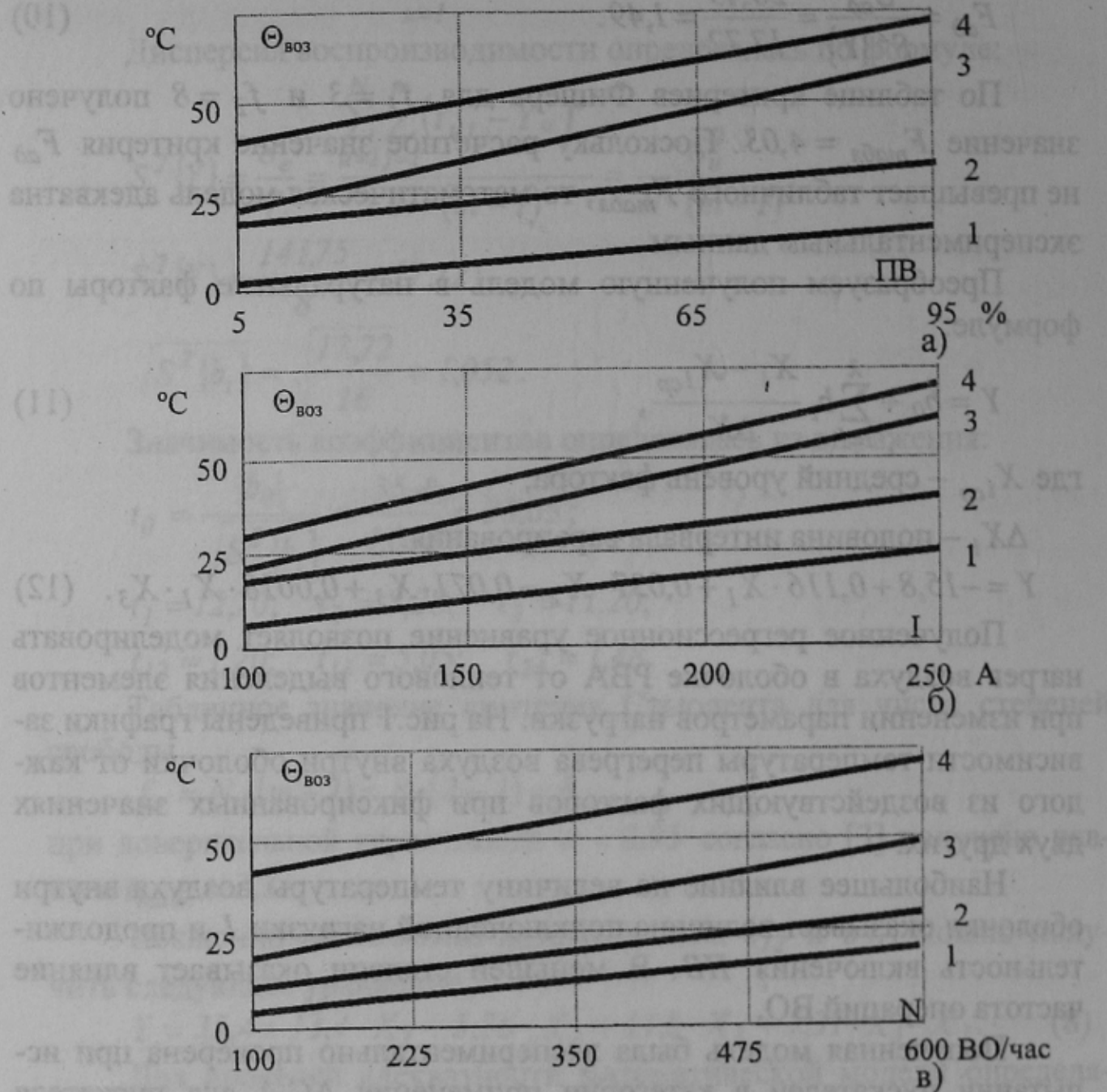


Рис. 1 – Зависимость перегрева воздуха  $\Theta_{\text{возд}}$  внутри оболочки РВА в функции продолжительности включения  $PV$  (а), тока нагрузки  $I$  (б), частоты включения  $N$  (в)

На рис.1а приведены зависимости  $\Theta_{воз} = f(PB)$ :

1 – для  $N|_{I=100A} = 100 BO/\text{час}$ ; 2 – для  $N|_{I=100A} = 600 BO/\text{час}$ ;

3 – для  $N|_{I=250A} = 100 BO/\text{час}$ ; 4 – для  $N|_{I=250A} = 600 BO/\text{час}$ .

На рис.1б приведены зависимости  $\Theta_{воз} = f(I)$ :

1 – для  $N|_{PB=5\%} = 300 BO/\text{час}$ ; 2 – для  $N|_{PB=95\%} = 300 BO/\text{час}$ ;

3 – для  $N|_{PB=5\%} = 600 BO/\text{час}$ ; 4 – для  $N|_{PB=95\%} = 600 BO/\text{час}$ .

На рис.1в приведены зависимости  $\Theta_{воз} = f(N)$ :

1 – для  $I|_{PB=5\%} = 100A$ ; 2 – для  $I|_{PB=95\%} = 100A$ ;

3 – для  $I|_{PB=5\%} = 250A$ ; 4 – для  $I|_{PB=95\%} = 250A$ .

Расчет по модели (12) при  $X_1 = 620 \cdot \sqrt{\frac{t_p}{t_p + t_n}}$ ,  $A$ ;  $X_2 = 220$  и

440 циклов ВО в час и  $X_3 = 3,3\%$  дал следующие результаты: средние значения  $Y_1 = 37^\circ\text{C}$ ,  $Y_2 = 60,6^\circ\text{C}$ ; погрешность

$$\delta Y_i = \left| \frac{Y_i - \bar{Y}_i}{Y_i} \right| \cdot 100\%; \quad (13)$$

составляла соответственно

$$\delta Y_1|_{\bar{Y}_1=37^\circ\text{C}} = 2,7\%; \quad \delta Y_2|_{\bar{Y}_2=60^\circ\text{C}} = 2,2\%.$$

Полученная математическая модель позволяет моделировать нагрев воздуха внутри оболочки пускателей как обобщающий параметр РВА в зависимости от величины нагрузки и режима работы управляемого (защищаемого) двигателя электропривода горных машин и механизмов различного технологического назначения.

#### Список источников.

- Надежность взрывозащищенного и рудничного оборудования / А.И. Быков, Б.Н. Ванеев, А.Д. Главный и др. – М.: Недра, 1979. – 312 с.
- Кардаш В.В. Исследование влияния режима работы нагрузок на температуру воздуха и концентрацию окислов азота внутри оболочки электромагнитного пускателя ПВИ-250 // Взрывозащищенные электрические аппараты: Сборник научных трудов ВНИИВЭ. – Донецк, 1984, С.82-86.
- ОСТ 16.0.800.778-80. Оборудование электротехническое взрывозащищенное и рудничное на напряжение до 1200 В. Надежность. Методика обеспечения надежности. – Введ. С 25.09.80. – ВНИИВЭ, 1980. – 80 с.